

05;09

О НИЗКОЧАСТОТНОМ ЭЛЕКТРИЧЕСКОМ СПЕКТРЕ ПОРОГА ВОЗБУЖДЕНИЯ РЕОЛОГИЧЕСКОГО ВЗРЫВА С ГЛУБОКИМИ ПРОВАЛАМИ

© Е.Г.Фатеев

Институт прикладной механики УрО РАН,

426001 Ижевск, Россия

(Поступило в Редакцию 20 января 1995 г.)

Представлено свидетельство существования глубоких провалов в низкочастотном электрическом спектре порога (или критического давления) возбуждения $P_c(\nu)$ реологического взрыва с другим, кроме кислого оксалата аммония, твердым соединением — кристаллогидратом щавелевой кислоты. Обнаружено, что падению порога P_c на сверхнизких частотах (СНЧ) в этих соединениях предшествует при давлениях $P \gtrsim 0.3 \cdot P_c$ кратковременный, но гигантский всплеск диэлектрической проницаемости до $\epsilon \sim 10^3 - 10^4$. Предложены две не исключающие друг друга модели, позволяющие понять возможность существования глубоких провалов в электрическом спектре $P_c(\nu)$ в узкой полосе на СНЧ. Из моделей следует, что провалы на СНЧ и НЧ (условное деление диапазонов) связаны с принципиально разными механизмами диссипации энергии электрического поля: на СНЧ — с селективным по частоте вводом энергии в пробой, на НЧ — с тепловыделениями из-за диэлектрических потерь.

Введение

Недавно обнаружено явление [1,2], свидетельствующее о возможности значительного влияния переменного электрического поля в низкочастотном диапазоне на порог механической устойчивости P_c некоторых диэлектриков при их сильном одноосном квазистатическом сжатии. Особенностью этого эффекта является то, что частотный спектр порога устойчивости $P_c(\nu)$ имеет один узкий глубокий провал в области сверхнизких частот (СНЧ) $\nu = 10 - 10^3$ Гц и второй более широкий в интервале низких частот (НЧ) $\nu = 10^3 - 10^6$ Гц. Так, при сильном сжатии в диапазоне давлений $P \lesssim 3 - 4$ ГПа образцов кислого оксалата аммония (КОА) $\text{NH}_4\text{HC}_2\text{O}_4 \cdot \text{H}_2\text{O}$ толщиной $d \simeq 0.3$ мм в его спектре $P_c(\nu)$ оказалось два провала вблизи $\nu_1 \simeq 31$ Гц и около $\nu_2 \simeq 10^4$ Гц (рис. 1,а). Причем глубина провалов росла в зависимости от амплитуды импульсов напряжения U_0 в соответствии с правилом

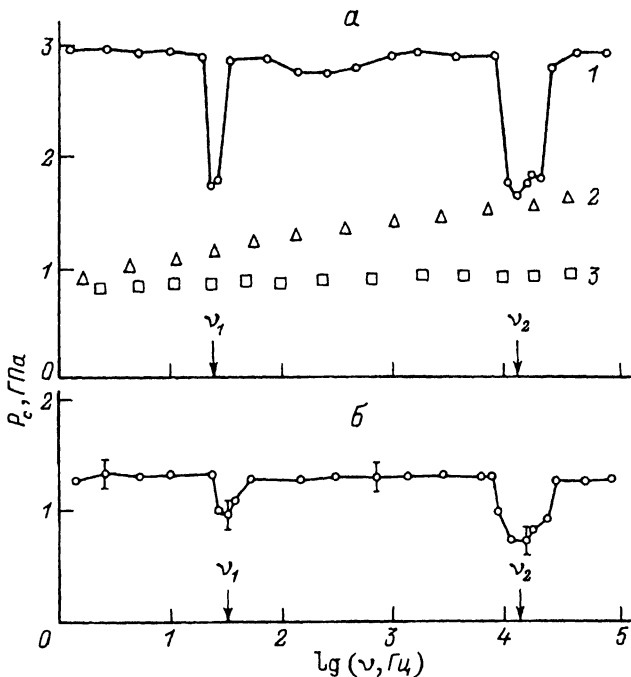


Рис. 1. Низкочастотный электрический спектр порога возбуждения реологического взрыва $P_c(\nu)$ при амплитуде импульсов напряжения $U_0 \approx 65$ В для твердых соединений.

а: 1 — $\text{NH}_4\text{HC}_2\text{O}_4 \cdot \text{H}_2\text{O}$, 2 — $\text{CuSO}_4 \cdot 5\text{H}_2\text{O}$, 3 — $\text{SC}(\text{NH}_2)_2$; спектры из работ [1,2]; б — $\text{H}_2\text{C}_2\text{O}_4 \cdot 2\text{H}_2\text{O}$, спектр найден в данной работе.

$\Delta P(\nu) = P_c(0) - P_c(\nu) \sim U_0^2$ и при $U_0 \approx 65$ В порог $P_c(\nu_1, \nu_2)$ составлял $\sim 60\%$ от $P_c(0)$ для $U_0 = 0$.

Необходимо подчеркнуть, что описываемое явление наблюдается в условиях, достигаемых в опытах с эффектом, открытый Бриджменом [3] и называемым иногда реологическим взрывом (РВ). РВ проявляется в опытах почти со всеми твердыми диэлектриками и многими полупроводниками и заключается в возбуждении в телах такого состояния неустойчивости при их сильном одноосном статическом ($dP/dt \lesssim 10^{-1}$ ГПа/с) сжатии в области высоких давлений $P \lesssim 10-15$ ГПа, когда они взрывообразно выбрасываются из-под наковален в микродисперсно разрушенном виде со скоростями $v \sim 1-2$ км/с [4].

Кратко представим некоторые интересные особенности проявления РВ. Известно [5], что порог P_c возбуждения РВ (или среднее критическое давление P_c в теле, при котором в опытах с данным твердым веществом происходит РВ) падает с ростом температуры и скорости статического сжатия. Обнаружена корреляция порога P_c с термодинамическими параметрами испытываемых веществ [6]. Найдена зависимость порога P_c от толщины образцов [7]. До возбуждения и особенно в условиях РВ в твердых телах происходят необратимые структурные изменения [8-10] со скачками переколяционных свойств и могут активироваться интенсивные взаимодействия химических реагентов [11,12].

Для дальнейшего особо отметим, что в момент проявления РВ имеет место энергичный импульс электромагнитных излучений в широком спектре вплоть до рентгеновского, а также обнаружена эмиссия электронов [4]. Сообщалось о возможности эмиссии нейтронов в момент РВ с дейтерированными кристаллами [13]. Понятна трудность и неоднозначность суждений о вероятности проявления последнего эффекта [14], особенно если учесть многогранность сопровождающих РВ явлений. Также и в случае с обнаружением немонотонного спектра $P_c(\nu)$ у КОА более или менее тривиальное объяснение нашлось для НЧ провала вблизи $\nu_2 \sim 10^4$ Гц, поскольку в соответствующем спектре диссипации энергии электрического поля $w_e(\nu)$ около ν_2 наблюдался кратковременный ($\Delta t \sim 1-5$ с), но достаточный для снижения P_c всплеск [1]. Существование же СНЧ провала в спектре $P_c(\nu)$ вблизи $\nu_1 \sim 31$ Гц в весьма узком интервале $\Delta\nu_1 \sim 3-5$ Гц кажется странным.

Целью настоящей работы является выяснение природы эффекта СНЧ спадов P_c и доказательство существования СНЧ и НЧ глубоких провалов в спектрах $P_c(\nu)$ с другими, кроме КОА, веществами.

Гигантский СНЧ всплеск диэлектрической проницаемости при сильном сжатии КОА

Не рассматривая пока механизм поляризации диэлектриков с дисперсным строением на низких частотах $\nu < 10^6$ Гц, отметим возможность всплеска у КОА при неоднородных сжатиях не только диэлектрических потерь $\operatorname{tg} \delta(\nu)$ на НЧ, но и диэлектрической проницаемости $\epsilon(\nu)$ на СНЧ [15, 16]. Для проверки этого предположения проводился представленный здесь опыт.

В процессе одноосного сжатия КОА со скоростью $\sim 10^{-1}$ ГПа/с наблюдали за изменением его диэлектрической проницаемости $\epsilon(P, \nu)$ в области СНЧ. Использовался метод сравнения кинетики затухания электрического потенциала $U(t)$ после воздействия СНЧ импульсов,

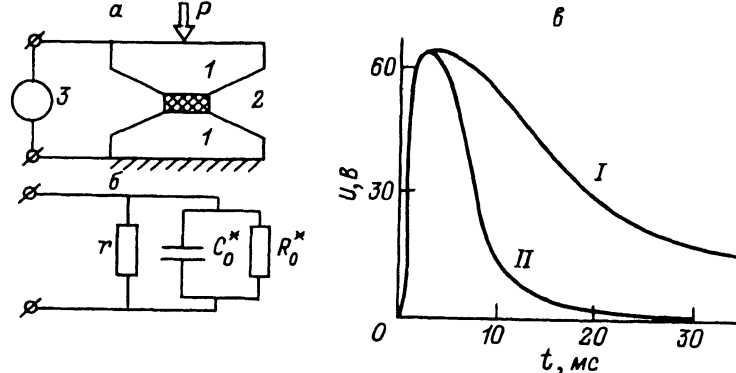


Рис. 2. Система сжатия в переменном поле (а) с соответствующей электрической схемой замещения (б) и характерный вид (в) кинетики затухания потенциала $U(t)$ на частотах $\nu_1 \sim 30-50$ Гц в момент гигантского всплеска диэлектрической восприимчивости (I) и обычный (II).

I — наковальни, 2 — образец, 3 — генератор НЧ импульсов; C_0^* — эквивалентная емкость с сопротивлением R_0^* , r — сопротивление измерительных цепей.

на обкладках параметрического конденсатора $C_0(P, \nu)$ (составленного из образца КОА с прижатыми к нему плоскостями наковален) и в соответствующей ему эквивалентной схеме замещения с подбором емкостей C_0^* и сопротивлений R_0^* ^[15]. Вид схемы и обычной кинетики $U(t)$ на C_0 для СНЧ импульсов длительностью $\Delta t = 10$ мкс показаны на рис. 2. Релаксационная зависимость $U(t)$ при подаче на C_0 прямогоугольного импульса с амплитудой U_0 описывается соотношением вида

$$U(t) = U_0[\exp(-t/\tau_1) - \exp(-t/\tau_2)], \quad (1)$$

где постоянные времени $\tau_1 = C_0 R_0 > \tau_2 = C_0 R_0 r / (R_0 + r) \simeq C_0 r$, поскольку с окончанием импульса заряд стекает и по измерительным цепям с их входным сопротивлением $r \lesssim 1$ МОм. Подбирая одинаковую форму кинетики затухания $U(t)$ для C_0 и схемы замещения, определяли C_0^* и R_0^* . Далее из равенства $C_0 R_0 = C_0^* R_0^*$ находили емкость C_0 и соответственно $\epsilon = \epsilon_\infty C_0 / C_\infty$. При этом принималось во внимание то, что при давлениях $P < 0.3 P_c$ сопротивление образцов КОА в постоянном поле было $R_0 \sim 50$ МОм, а при $P > 0.3 \cdot P_c$ порядка $R_0 \sim 5$ МОм. И соответственно при $P < 0.3 \cdot P_c$ для обычных у КОА высокочастотных значений $\epsilon_\infty \simeq 10$ с толщиной образца $d \simeq 3 \cdot 10^{-4}$ м и площадью сечения $S \simeq 2 \cdot 10^{-5}$ м² параметрическая емкость составляла $C_\infty = \epsilon_0 \epsilon_\infty S / d \simeq 10$ пФ. Здесь $\epsilon_0 \simeq 10^{-11}$ Ф/м — электрическая постоянная. Паразитные емкости $C_p \simeq 20$ пФ учитывались в расчетах, если C_0 не превосходила C_p хотя бы на порядок. Пренебрегались искажения результатов из-за возможных приэлектродных эффектов, поскольку, как известно [16], у диэлектриков с высокими сопротивлениями $R_0 > 10^5$ Ом их влияние незначительно. Поэтому считалось, что R_0 почти не зависит от низкой частоты.

Наблюдения показали, что в процессе неоднородного сжатия КОА при давлениях $P > 0.3 \cdot P_c$ имеет место гигантский СНЧ всплеск диэлектрической проницаемости вплоть до $\epsilon \sim 10^3 - 10^4$, показанный на рис. 3. Обратим внимание на то, что СНЧ всплеск $\epsilon(\nu)$ проявляется

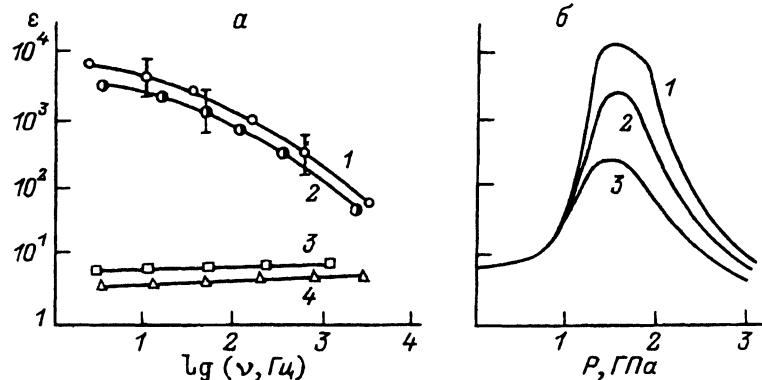


Рис. 3. Низкочастотная дисперсия диэлектрической проницаемости $\epsilon(\nu)$ в момент максимума всплеска (а) для $\text{NH}_4\text{HC}_2\text{O}_4 \cdot \text{H}_2\text{O}$ (1), $\text{H}_2\text{C}_2\text{O}_4 \cdot 2\text{H}_2\text{O}$ (2), $\text{SC}(\text{NH}_2)_2$ (3), $\text{CuSO}_4 \cdot 5\text{H}_2\text{O}$ (4).

И типичный вид (б) всплеска $\epsilon(P, \nu)$ в зависимости от степени сжатия КОА со скоростью $dP/dt \simeq 10^{-1}$ ГПа/с на частотах, Гц: 1 — 10; 2 — 10^2 ; 3 — 10^3 .

не в виде зависимости с максимумом вблизи $\nu_1 \sim 31$ Гц, как ожидалось [2], а в форме гигантской дисперсии, монотонно спадающей с ростом частоты. Это обстоятельство вынуждает искать новое представление о механизмах, приводящих к локализации провалов в спектрах $P_c(\nu)$ в узкой полосе СНЧ.

Обнаружение провалов в НЧ спектре $P_c(\nu)$ щавелевой кислоты

Гигантский всплеск СНЧ дисперсии $\varepsilon(\nu)$ у КОА непосредственно перед возбуждением РВ может быть использован как тест для поиска веществ с возможностью существования у них нетривиальных НЧ спектров $P_c(\nu)$. Методичный поиск таких соединений привел к обнаружению ряда кристаллогидратов, в том числе и щавелевой кислоты (ШК) $\text{H}_2\text{C}_2\text{O}_4 \cdot 2\text{H}_2\text{O}$ с гигантским всплеском $\varepsilon(\nu)$ на СНЧ (рис. 3). Использование методики нахождения спектра $P_c(\nu)$, описанной в [1], действительно привело к обнаружению в опытах со ШК глубоких СНЧ и НЧ провалов P_c . Поскольку порог P_c при $U_0 = 0$ у ШК $P_c(0) \simeq 1.3$ ГПа, а у КОА $P_c(0) \simeq 3$ ГПа, то можно сравнить относительные глубины провалов $\Delta P_r(\nu) = \Delta P(\nu)/P_c(0)$, где $\Delta P(\nu) = P_c(0) - P_c(\nu)$. Видно (рис. 1, б), что на СНЧ $\Delta P_r(\nu)$ у ШК меньше, чем у КОА. Причем со ШК провал на СНЧ значительно шире и начало спада немного смешено по частоте. Эти отличия тем более интересны, если учесть, что относительная глубина НЧ провалов в спектрах $P_c(\nu)$ у обоих соединений при амплитуде импульсов напряжения $U_0 \simeq 65$ В почти одинакова $\Delta P_r \simeq 0.35$.

Ранее было показано [2], что в спектрах $P_c(\nu)$ соединений $\text{CuSO}_4 \cdot 5\text{H}_2\text{O}$ и $\text{SC}(\text{NH}_2)_2$ каких-либо особенностей типа провалов P_c не существует. Исследование поведения диэлектрической восприимчивости при сжатии этих веществ также не привело к обнаружению каких-либо аномальных всплесков $\varepsilon(\nu)$ (рис. 3, а, кривые 3 и 4). Поэтому связь гигантского всплеска СНЧ дисперсии $\varepsilon(\nu)$ со снижением порога $P_c(\nu)$, хотя бы и не во всем диапазоне СНЧ, приобретает свойство правила. Из опытов следует критерий возможности существования нетривиальных спектров $P_c(\nu)$ с провалами у веществ с постоянной времени $\tau_1 = R_0 C_0 \gtrsim 10^{-1}$ с, которую имеют диэлектрики с $R_0 \gtrsim 1$ МОм и $C_0 \sim 10^4$ пФ в момент всплеска $\varepsilon(\nu)$. Этому критерию не удовлетворяли ни $\text{CuSO}_4 \cdot 5\text{H}_2\text{O}$, ни $\text{SC}(\text{NH}_2)_2$, поскольку у них $\tau_1 < 10^{-5}$ с при $R_0 \sim 10^2$ Ом и $C_0 \sim 20$ пФ у первого, и $R_0 \sim 1$ МОм и $C_0 \sim 10$ пФ у второго. Удивление, однако, вызывает значительный рост порога P_c у $\text{CuSO}_4 \cdot 5\text{H}_2\text{O}$ с повышением частоты (рис. 1, а, 2).

Таким образом, можно ожидать эффекты с глубокими падениями порога в узких диапазонах СНЧ и НЧ спектра $P_c(\nu)$ в ряде соединений, содержащих связанную воду. Касаясь же выбора в качестве модельных веществ КОА и ШК, необходимо отметить некоторые методические особенности опытов с РВ. В момент РВ наковальни при выбросе из-под них части образца резко сближаются (за $\sim 10^{-5}$ с), возбуждая ударную волну с мощностью энерговыделения, коррелирующей с порогом P_c . При испытаниях веществ с $P_c \gtrsim 5$ ГПа наковальни выдерживают без разрушений не более 20–30 эффектов с РВ, в то время как для получения полного НЧ спектра $P_c(\nu)$ необходимо провести

по крайней мере около 400 таких опытов. Поэтому удобны соединения типа КОА и ШК с $P_c \gtrsim 3$ ГПа, что принципиально важно для получения достоверного спектра $P_c(\nu)$.

Возможная причина гигантского всплеска НЧ диэлектрической дисперсии при одноосном сжатии кристаллогидратов

Гигантский всплеск диэлектрической восприимчивости у соединений, содержащих связанную воду, скорее всего связан с индуцируемыми сжатием процессами дегидратации. Известно [8,9], что перед проявлением РВ в условиях одноосного статического сжатия в любых твердых веществах генерируются сильно неоднородные поля механических напряжений, приводящие к размытым по времени и объему фазовым превращениям. При этом легко активируемые атомы и молекулы мигрируют и скапливаются в пространственной сетке межзеренных областей. Естественно, что в таких диссипативных процессах у КОА или ШК в тонких межзеренных оболочках окажутся легко активируемые молекулы воды. Но именно в таких гетерогенных системах возможна необычно высокая НЧ дисперсия диэлектрической восприимчивости [17]. В переменных полях (в таких дисперсных системах) ионы и катионы, находящиеся в проводящих или полупроводящих оболочках вблизи зерен, перемещаются в пределах каждого включения, которое приобретает индуцированный дипольный момент и ведет себя подобно гигантской поляризованной молекуле. Характерная частота диэлектрического отклика в таких системах определяется из выражения $\nu \simeq 2D/a^2$ и для типичных размеров диссипативных ячеек $a \sim 10^{-4} - 10^{-6}$ см и коэффициентов диффузии ионов и катионов $D \sim 10^{-4} - 10^{-6}$ см²/с в тонких жидких оболочках оказывается в области $\nu \gtrsim 10^4 - 10^6$ Гц.

Кратковременность всплеска НЧ диэлектрической дисперсии может быть обусловлена быстрым вытеснением жидкости из тонких оболочек в микрорезервуары или обратными процессами растворения в зернах при дальнейшем сжатии кристаллогидратов до более высоких давлений. О таких процессах с растворением воды даже в кремнийсодержащих соединениях отмечалось в работе [18]. Необычно еще и то, что вязкость воды в тонких оболочках как в нормальных условиях, так и при сильном сжатии до давлений $P \sim 3$ ГПа может быть одинаковой [19].

Итак, наблюдаемый СНЧ всплеск $\varepsilon(\nu)$ указывает на возможность соответствующих импульсных перенапряжений электрического поля в локальных областях неоднородного диэлектрика. Локальное поле найдем из $E_l(\nu) = \varepsilon(\nu)U/d$. При обычных в опытах с КОА и ШК значениях $d \simeq 3 \cdot 10^{-2}$ см и $U_0 \simeq 65$ В и максимальных $\varepsilon \sim 10^3 - 10^4$ могут достигаться напряженности поля $E_l \sim 10^2 - 10^3$ кВ/см, которых в принципе достаточно для пробоя [20]. Однако уникальной особенностью СНЧ провала в спектрах $P_c(\nu)$ является его локализованность в весьма узком интервале частот $\nu_1 \sim 30 - 50$ Гц, а не во всех СНЧ, при которых могут иметь место пробойные поля с $E_l(\nu) \sim 10^3$ кВ/см. И поскольку в пробое может вводится энергия, соизмеримая с упругой (которая накапливается при сжатии КОА и ШК до P_c), т. е. способная привести к снижению P_c , то попытаемся понять причину СНЧ локализованности спада порога в спектрах $P_c(\nu)$ вблизи ν_1 .

Модель СНЧ провала с перколяционным прорастанием пробоя

Для объяснения СНЧ локализованности провалов в спектрах $P_c(\nu)$ воспользуемся некоторыми качественными отношениями из теории пробоя конденсированных сред. Так, для длины ветви разряда L в зависимости от локального электрического поля E_l и потенциала ионизации I диэлектрика с высокой проницаемостью найдена связь типа [21]

$$L_n \sim I^{-\lambda} E_l^k, \quad (2)$$

где $\lambda = 1 - 3$ и $k = 2 - 3$.

Развитие фрактальной модели разряда привело в принципе к подобной корреляции [22,23], но с отсечкой допороговых полей $E_l < E_c$, при которых прорастания ветвей нет. Естественно связать длину ветви L , коррелирующую с числом ионизованных структурных единиц (по пути следования ветви разряда), с энергией W_n , необратимо вводимой в нее, тогда (2) следует переписать в виде

$$L_n(\nu) \sim W_n(\nu) \sim I^{-\lambda} \varepsilon(\nu) E_l^k(\nu). \quad (3)$$

Учтем также, что и скорость прорастания перколяционного кластера зависит от количества импульсов с $E_l > E_c$. Для модельной решетки, например, в работе [24] был показан рост усредненного числа ветвей N единичной длины L после подачи n импульсов, подобный $N(n) \sim \exp(\gamma n)$ с $\gamma \approx 0.85$. Поскольку в нашем случае кратковременность всплеска ($\Delta t < 5$ с) дисперсии $\varepsilon(\nu)$ накладывает ограничение на количество импульсов n , то число вырастающих ветвей пробоя можно выразить через частоту

$$N(\nu) \sim \exp(\gamma \Delta t \nu). \quad (4)$$

Тогда всю плотность энергии (в расчете на единицу объема сжимаемого тела V), вводимую во фрактально ветвящуюся конфигурацию пробоя за время Δt , можно выразить в виде частотного спектра

$$w_e(\nu) \sim N(\nu) W_n(\nu) V^{-1}. \quad (5)$$

В то же время наблюдаемую гигантскую дисперсию $\varepsilon(\nu)$ формально можно описать уравнением Дебая [16,17]

$$\varepsilon(\nu) = \varepsilon_\infty + (\varepsilon_s - \varepsilon_\infty)(1 + \nu^2 \tau^2)^{-1}, \quad (6)$$

где время релаксации связанных зарядов в оболочках $\tau = a^2/2D$, ε_s и ε_∞ — максимальное СНЧ и минимальное высокочастотное значения диэлектрической проницаемости, a — размер дисперсных частиц, D — коэффициент диффузии ионов в жидких оболочках.

Надо полагать, что D должен сильно расти с температурой $D \sim D_0 \exp(T - T_0)$ и значительно падать с ростом давления $D \sim D_0 \exp(P_0 - P)$, однако в случае с оболочками с водой влияние сжатия на подвижность ионов в ней может быть нетривиальным [18,19]. Более точное и неформальное, но весьма громоздкое выражение для НЧ

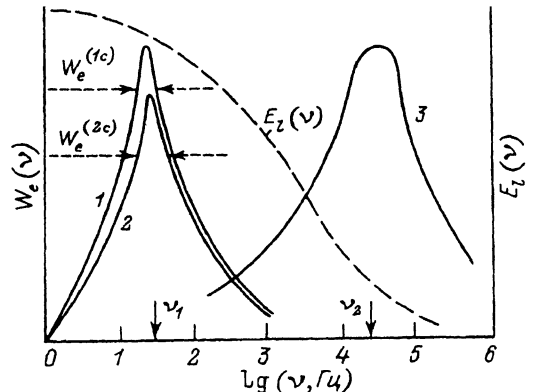


Рис. 4. Качественный вид частотных спектров для плотности электрической энергии $w_e(\nu)$, способной вводиться в разряд, и напряженности поля $E_l(\nu) \sim \epsilon(\nu)$ в момент гигантского всплеска ϵ в модели с переколяционным прорастанием пробоя.

На пороговых уровнях $w_e^{(1c)} > w_e^{(2c)}$ у кривых 1 и 2 с $\gamma_1 > \gamma_2$, подразумеваемых для КОА и ШК, соотношение ширин пиков $\Delta\nu_{1c} < \Delta\nu_{2c}$; 3 — спектр плотности энерговыделения $w_e(\nu) \sim \text{tg } \delta(\nu)$ в максимуме всплеска диэлектрических потерь $\text{tg } \delta(\nu)$ при сжатии КОА, обнаруженному в работе [1].

дисперсии $\epsilon(\nu)$ без привлечения ϵ_s и ϵ_∞ предложено недавно в работе [25]. Его было бы полезно использовать для оценки смещения дисперсии по частоте в зависимости от размера частиц, доли жидкой фазы в дисперсной системе и концентрации ионов в оболочках.

Преобразуя (5) с учетом (6), найдем спектр плотности энергии

$$w_e(\nu) \sim I^{-\lambda} V^{-1} \left(\frac{U}{d} \right)^k \epsilon^{k+1}(\nu) \exp(\gamma \Delta t \nu), \quad (7)$$

из которого становится очевидной возможность локализованного на СНЧ ввода электрической энергии в переколяционно растущий пробой. При построении кривой, отвечающей СНЧ спектру $w_e(\nu)$, можно не учитывать отсечку $E_l < E_c$, поскольку из-за корреляций $w_e(\nu) \sim \epsilon^{k+1}(\nu)$ и $E(\nu) \sim \epsilon(\nu)$ острый максимум будет локализован при $E_l > E_c$, как это схематично показано на рис. 4.

Максимальную возможную плотность энергии, вводимую в пробой, можно оценить из формулы $w = \epsilon_0 \epsilon E^2 / 2$. При $\nu \approx 31 \text{ Гц}$ и $\Delta t \approx 1 \text{ с}$ можно ожидать порядка $n \sim 10$ импульсов, и если их энергия хотя бы на 10% истратится на прорастание ветвей, то при $\epsilon \sim 10^3 - 10^4$ и соответственно $E \sim 10^3 \text{ кВ/см}$ в СНЧ всплеске $\epsilon(\nu)$ для всей конфигурации пробоя окажется не менее $w_e \sim 10^3 \text{ Дж/см}^3$. Это значение соотносится с порядком плотности упругой энергии $w_s \sim 10^3 \text{ Дж/см}^3$, накапливаемой в дискообразном образце КОА или ШК при сжатии до $P_c \sim 2 - 3 \text{ ГПа}$. Ее можно оценить, например, из кинетической энергии $Q = mv^2/2$, уносимой из зоны сжатия осколками массой $m \approx 10^{-2} \text{ г}$ и объемом $V \approx 5 \cdot 10^{-3} \text{ см}^3$ со скоростью $v \approx 10^6 \text{ см/с}$.

Соразмерность w_e и w_s позволяет представить дисперсию $P_c(\nu)$, коррелирующую с наблюдаемым вкладом $w_s(\nu)$ и соответствующей $w_s(0)$ без воздействия полей $E = 0$, в зависимости от $w_e(\nu)$ в виде

$$P_c(\nu) \sim w_s(\nu) = w_s(0) - w_e(\nu). \quad (8)$$

Придавая коэффициенту γ в (7) физический смысл, связанный с эффективностью ионизации в диэлектриках, заметим следующее. В КОА

в отличие от ШК существует не менее двух легко ионизуемых группировок типа H_2O и NH_4 , из-за чего расширяется спектр энергий электронов, способных неупруго взаимодействовать с этим диэлектриком. Иначе, в каждом импульсе поля электроны, инжектируемые с наковален, пробуют более длинную ветвь в КОА, чем в ШК. Поэтому для ШК можно ожидать в соответствии с выражением (7) менее высокий СНЧ максимум в спектре $w_e(\nu)$. Однако из-за более низкой пороговой плотности энергии $w_e^{(c)}(\nu)$, способной еще повлиять на порог возбуждения РВ у ШК с его $P_c(0) \simeq 1.3 \text{ ГПа}$, соответствующие СНЧ максимуму в $w_e(\nu)$ провалы в спектре $P_c(\nu)$ могут оказаться заметно шире для ШК, чем для КОА, как это наблюдалось в экспериментах (рис. 4 и 1, а, б).

Таким образом, СНЧ провал в спектре $P_c(\nu)$ может быть связан с процессами СНЧ селективного прорастания пробоя, однако при односторонних сжатиях диэлектриков подобных КОА не исключены пробои в значительно меньших полях $E \lesssim 10-10^2 \text{ кВ/см}$, кроме этого, не требующие аккумуляции энергии нескольких импульсов. Рассмотрим и этот случай.

Модель СНЧ провала с пробоем газа в микротрещине

Основную роль в таких пробоях должны играть микротрещины, обычно образующиеся в моменты локальных срывов механических напряжений в предкритических условиях $P \sim (0.5-0.7) \cdot P_c$ сильного одностороннего сжатия диэлектриков. Между берегами в зоне быстрого роста микротрещин с поверхности скола, как и в любых других видах разрушений, инжектируются заряженные частицы и жесткие кванты [26]. По оценкам [4] за время раскрытия трещин $\Delta t \sim 10^{-5}-10^{-7} \text{ с}$ в зазоре сечением $S_d \sim 10^{-4}-10^{-6} \text{ см}^2$ может оказаться порядка $n_0 \sim 10^{13} \text{ см}^{-3}$ электронов с широким спектром энергий вплоть до $q \sim 100 \text{ кэВ}$ и с максимумом дисперсии при $q \sim 10-200 \text{ эВ}$. Но именно при таких энергиях электроны имеют наибольшую вероятность неупругого взаимодействия с двухатомными молекулами, т. е. способны эффективно их ионизовать [27, 28]. И в случае прорастания трещины на всю толщину образца d в зазоре между ее берегами возможно зажигание несамостоятельного разряда в ионизованном газе. Газовые молекулы H_2O , NH_4 , CO_2 , CO и отдельные атомы могут быть "впрыснуты" в зазор из сильно сжатых и вскрытых на берегах трещин жидких прослоек или выбиты энергичными электронами. Столб такого разряда может быстро диссирировать СНЧ импульсный всплеск энергии поля в параметрическом конденсаторе C_0 , что может выразиться в возбуждении ударной волны, способной значительно снизить порог инициирования РВ.

Особенностью такого разряда является то, что с ростом энергии, вводимой в него, увеличивается вероятность искрового пробоя в зазоре, из-за которого на порядки падает доля энергии эффективно диссирируемая в газоразрядной плазме [28]. Учитывая это обстоятельство, оценим эффективную плотность энергии w_e , вводимую в пробой газа, в столбе высотой d и сечением S_d из следующего выражения [29]:

$$w_e = \frac{C_0 E_0^2}{2} \frac{d}{S_d} \left[1 - \exp \left(-\frac{2t_0}{R_p C_0} \right) \right], \quad (9)$$

где сопротивление плазмы $R_{pl} = \beta d(\epsilon\mu S_d)^{-1}(\psi\beta)^{-1/2}$ и напряженность поля в столбе разряда E_0 выражаются через импульс поля E во всем параметрическом конденсаторе C_0

$$E_0 = E(1 + \beta n_0 t_0)^{A/C_0}, \quad A = e\mu S_d(\beta d)^{-1}, \quad n_0 = (\psi/\beta)^{1/2}.$$

Здесь n_0 — стационарная концентрация заряженных частиц на промежутке $t_0 \sim 10^{-5} - 10^{-7}$ с, μ — их подвижность, e — заряд, ψ — скорость ионизации молекул газа, β — их коэффициент рекомбинации. Причем ψ зависит от вероятности взаимодействия электронов с различными молекулами газа $f_i(q)$ и их порциональных плотностей ρ_i в виде $\psi \sim \sum_i f_i(q) \rho_i$ [28].

Подставляя в (9) выраженные через $\varepsilon(\nu)$ значения $E = \varepsilon(\nu)U/d$ и $C_0 = \varepsilon(\nu)\varepsilon_0 S/d$ и принимая во внимание гигантский всплеск СНЧ дисперсии $\varepsilon(\nu)$, описываемой формулой (6), найдем следующую частотную зависимость для эффективной плотности энергии, вводимой в плазменный пробой:

$$w_e(\nu) = \varepsilon^3(\nu)\varepsilon_0 \frac{S}{2S_d} \left(\frac{U}{d}\right)^2 \left[1 - \exp\left(-\frac{2t_0 n_0 e \mu S_d}{\varepsilon(\nu)\varepsilon_0 S}\right)\right] (1 + \beta n_0 t_0)^{2A/C_0}. \quad (10)$$

При обычных параметрах, характерных для разреженных газов типа H_2O^+ и NH_4^+ [28, 30], $\mu \sim 10^3 \text{ см}^2/(\text{с} \cdot \text{В})$, $\beta \sim 10^{-7} \text{ см}^3/\text{с}$, $t_0 \sim 10^{-6} - 10^{-7}$ с, $n_0 \sim 10^{13} \text{ см}^{-3}$ для значений $U \simeq 65 \text{ В}$, $d \simeq 3 \cdot 10^{-2} \text{ см}$, $S \simeq 2 \cdot 10^{-1} \text{ см}^2$ и ожидаемой величины $S_d \sim 10^{-3} - 10^{-5} \text{ см}^2$ в момент всплеска $\varepsilon \sim 10^3 - 10^4$ в спектре $w_e(\nu)$ существует СНЧ максимум, схематично показанный на рис. 5. Величина w_e в максимуме селективного СНЧ ввода энергии в пробой газа может оказаться на уровне $w_e \sim 10^3 - 10^4 \text{ Дж}/\text{см}^3$, что соизмеримо с плотностью упругой энергии w_s , накапливаемой в образцах КОА или ШК при их сильном сжатии. Поэтому и в этой модели СНЧ зависимость $P_c(\nu)$ с глубокими провалами у КОА и ШК вблизи ν_1 может являться отражением спектра $w_e(\nu)$ с максимумами на СНЧ в соответствии с корреляционным отношением (8).

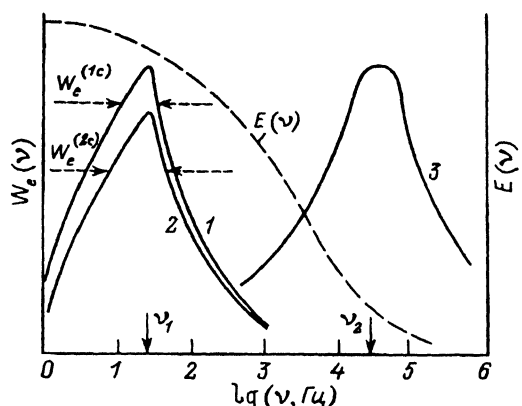


Рис. 5. То же, что на рис. 4, для модели с пробоем газа в микротрещине. 1, 2 — скорости ионизации газа $\psi_1 > \psi_2$ в КОА и ШК.

В том, что СНЧ спектры $P_c(\nu)$ для КОА и ШК различаются, в данной модели значительную роль будут играть процессы ионизации газообразных молекул в столбе разряда. Можно ожидать, как и в модели с переколяционным прорастанием пробоя, больших скоростей ионизации ψ у КОА, чем у ШК, поскольку увеличение типов молекул в газе также приведет к расширению спектра энергий электронов, способных эффективно взаимодействовать с таким газом. Поэтому для ШК максимум селективного СНЧ ввода энергии окажется в соответствии с отношением (10) менее высокий. Однако из-за более низкой пороговой плотности энергии $w_e^{(c)}$, способной еще существенно повлиять на порог P_c у ШК, соответствующие максимуму в $w_e(\nu)$ провалы в спектре $P_c(\nu)$ окажутся шире для ШК, чем для КОА (рис. 1 и 5).

Обсуждение результатов и заключение

В модели с пробоем газа в микротрещине можно исключить процессы, связанные с накоплением электрической энергии нескольких СНЧ импульсов, поскольку концентрация заряженных частиц n_0 в заре поддерживается на достаточном для зажигания разряда уровне в промежутке $\Delta t \gtrsim 10^{-6}$ с, гораздо меньшем, чем период следования импульсов $T > 10^{-2}$ с. В этом заключается основное различие двух предложенных здесь моделей. Что же касается их возможной связи, то представляется вполне вероятным на каком-то этапе прорастания ветвей более раннее раскрытие микротрещины вблизи области с переколяционно растущим пробоем. И наоборот, несквозное раскрытие микротрещины может привести к ускоренному вблизи нее росту ветвей пробоя.

Можно предположить, что описываемые здесь СНЧ провалы в спектрах $P_c(\nu)$ могут наблюдаться не только в дегидратирующихся при сжатии соединениях, но и в веществах, испытывающих какие-либо другие фазовые превращения, если при этом у них имеется гигантский СНЧ всплеск диэлектрической восприимчивости. Однако если относить такую возможность к некоторым сегнетоэлектрикам с высокой $\epsilon \gtrsim 10^3$, то необходимо отметить, что при давлениях порядка $P \sim 0.5$ ГПа обычно происходит демпфирование колебательных движений доменов [31]. В связи с этим уместно заметить, что и КОА при $T_c \gtrsim 146$ К находится в сегнетосостоянии [32]. Однако всплеск дисперсии $\epsilon(\nu)$ в СНЧ диапазоне проявился у КОА при $T_0 \simeq 293$ К и средних давлениях $P \gtrsim 1$ ГПа, когда переориентации доменов демпфированы. Отметим еще, что если T_c вырастет при сжатии до T_0 , что в принципе возможно [33], то все равно у КОА даже вблизи T_c максимум в дисперсии $\epsilon(\nu)$ при $\nu \gtrsim 10^3$ не превышает $\epsilon \simeq 15-20$ [32]. Естественно, остается возможность гигантского роста $\epsilon(\nu)$ на НЧ из-за таких диссипативных процессов, индуцируемых неоднородными полями механических напряжений при сильном одноосном сжатии, когда сложные соединения приобретают дисперсное строение с диэлектрическими включениями с тонкими жидкими или квазижидкими оболочками или прослойками.

В соответствии с отношениями (8), (7) и (10) глубина СНЧ провалов $\Delta P(\nu) = P_c(0) - P_c(\nu)$ должна коррелировать с амплитудой импульсного напряжения U_0 согласно правилу $\Delta P(\nu, U_0) \sim U_0^2$, что и бы-

ло показано в экспериментах [1] вплоть до $U_0^* \simeq 65$ В, в том числе и для НЧ спада. Неизвестно, однако, выполняется ли это правило при $U_0 > U_0^*$. Можно предположить, что при высоких напряжениях U_0 глубина ΔP даже снизится. Это может произойти в соответствии с (7) или (10), если электроны в ускоряющем поле станут более энергичными и таким образом менее эффективными при ионизации газовых или конденсированных молекулярных группировок типа H_2O и NH_4 .

Контрастность формы СНЧ провалов в спектрах $P_c(\nu)$ можно ожидать вплоть до таких амплитуд $U_0 < U_{max}$, при которых начнутся эффекты пробоя в интервале давлений $P < 0.1$ ГПа еще до возникновения СНЧ всплеска $\varepsilon(\nu)$. Для КОА и ШК, например, до гигантского СНЧ роста $\varepsilon(\nu)$ при $\varepsilon \simeq 10-20$ в пробойных полях $E \simeq 10^3$ кВ/см и толщинах образцов $d \simeq 3 \cdot 10^{-2}$ см получим значение $U_{max} = Ed/\varepsilon \sim 1000$ В. Таким образом, описываемые эффекты с СНЧ провалами в спектрах $P_c(\nu)$ можно наблюдать в достаточно широком диапазоне импульсных напряжений $0 < U_0 < 1$ кВ.

Пока в экспериментах не удается зафиксировать сам факт СНЧ селективного пробоя, поскольку вслед за ним моментально происходит эффект РВ, времена релаксации которого порядка $\sim 10^{-5}-10^{-7}$ с. Однако совпадение характера аргументации в той и другой модели, касающейся величины и формы максимумов в дисперсии $w_e(\nu)$ и соответствующих провалов в спектрах $P_c(\nu)$, как для КОА, так и для ШК, неслучайно и может свидетельствовать о существенной роли процессов ионизации в механизмах инициирования СНЧ локализованных спадов порога P_c , что естественно связывается с пробоем.

Подводя итог, сделаем следующие основные выводы. Воздействие переменным электрическим полем в низкочастотном диапазоне на сильно одноосно сжимаемые диэлектрики, содержащие связанную воду, приводит к значительному снижению у них порога механической устойчивости P_c . Причем наибольшее падение P_c проявляется в двух достаточно узких частотных интервалах вблизи $\nu_1 \sim 30-50$ Гц и около $\nu_2 \sim 10^4$ Гц. Показано, что оба провала порога P_c являются следствием гигантского всплеска низкочастотной диэлектрической дисперсии, индуцированного в кристаллогидратах (подобных кислотному оксалату аммония и щавелевой кислоте) в процессе одноосного статического сжатия в области высоких давлений $P \sim (0.3-0.7) \cdot P_c$. При этом, как следует из [1,2], падение порога вблизи ν_2 вызывается кратковременной диссипацией энергии электрического поля в виде диэлектрических потерь. Падение же порога P_c около ν_1 , как оказывается в данной работе, вызвано селективным по частоте вводом электрической энергии в пробой, являющийся следствием гигантского СНЧ всплеска диэлектрической проницаемости. Таким образом, глубокие провалы в низкочастотных спектрах $P_c(\nu)$ вблизи ν_1 и около ν_2 для указанных выше диэлектриков могут быть связаны с принципиально разными механизмами диссипации энергии электрического поля.

Автор благодарит В.П. Скуба за помощь в проведении экспериментов.

Работа выполнена при финансовой поддержке Российского фонда фундаментальных исследований (проект № 93-01-22334, 95-05-14488).

Список литературы

- [1] Фатеев Е.Г. // Письма в ЖТФ. 1993. Т. 19. Вып. 10. С. 48–52.
- [2] Фатеев Е.Г. // Письма в ЖТФ. 1994. Т. 20 Вып. 20 С. 83–88.
- [3] Bridgman P. W. // Phys. Rev. 1935. Vol. 48. N 15. P. 825–847.
- [4] Ярославский М.А. Реологический взрыв М.: Наука, 1982. 193 с.
- [5] Фатеев Е.Г., Хан В.П. // Письма в ЖТФ. 1991. Т. 17. Вып. 20. С. 51–55.
- [6] Хан В.П., Фатеев Е.Г. // Письма в ЖТФ. 1990. Т. 16. Вып. 8. С. 81–84.
- [7] Ениколопян Н.С., Мхитарян М.С., Карагезян А.А. и др. // ДАН СССР 1987. Т. 292 № 4 С. 887–890
- [8] Фатеев Е.Г., Хан В.П. // ФГВ. 1992. Вып. 2 С 70–74
- [9] Фатеев Е.Г., Полякова И.Г., Хан В.П. // Письма в ЖТФ. 1991. Т. 17 Вып. 20 С. 47–50.
- [10] Александров А.И., Гаспарян Э.Э., Свистунов В.С. и др. // ДАН СССР. 1990. Т. 314. № 3. С. 648–650.
- [11] Ениколопян Н.С., Гаспарян Э.Э., Хзардженян А.А. // ДАН СССР. 1987. Т. 294. № 5. С. 1151–1154.
- [12] Ениколопян Н.С. // ДАН СССР. 1988. Т. 302. № 3. С. 630–634.
- [13] Ярославский М.А. // ДАН СССР. 1989 Т. 307. № 2. С. 369–370.
- [14] Федорович Г.В. // ЖТФ. 1993. Т. 63. Вып. 10. С. 64–74.
- [15] Gemert M.J. // J. Chem. Phys. 1974. Vol. 60. N 10. P. 3963–3974.
- [16] Челидзе Т.Л., Деревянко А.И., Куриленко О.Д. Электрическая спектроскопия гетерогенных систем. Киев: Наукова думка, 1977. 232 с.
- [17] Духин С.С., Шилов В.Н. Диэлектрические явления и двойной слой в дисперсных системах и полиэлектролитах. Киев: Наукова думка, 1972. 207 с.
- [18] Blacic J.D. // Geophys. Res. Lett. 1981. Vol. 8. P. 703–706.
- [19] Poirier J.P. Creep of Crystals. Cambridge University Press, 1985. 286 р.
- [20] Франц В. Пробой диэлектриков. М.: ИЛ, 1961. 155 с.
- [21] Tewordt L. // Zs. Phys. 1954. Vol. 138. P. 499–503.
- [22] Niemeyer L., Petronero L., Wiesman H.J. // Phys. Rev. Lett. 1984. Vol. 52. P. 1033–1036.
- [23] Wiesman H.J., Zeller H.R. // J. Appl. Phys. 1986. Vol. 60. P. 1770–1773.
- [24] Takaysu H. // Phys. Rev. Lett. 1985. Vol. 54. P. 1099–2001.
- [25] Барковская Ю.Б., Шилов В.Н. // Коллоид. журн. 1992. Т. 54. Вып. 2. С. 43–50.
- [26] Дерягин Б.В., Кротова Н.А., Смилга В.П. Адгезия твердых тел. М.: Наука, 1973. 286 с.
- [27] Мик Д., Крэгс Д. Электрический пробой в газах. М.: ИЛ, 1960. 600 с.
- [28] Королев Ю.Д., Месяц Г.А. Физика импульсного пробоя газов. М.: Наука, 1991. 224 с.
- [29] Бычков Ю.И., Генкин С.А., Королев Ю.Д. и др. // ЖЭТФ. 1974. Т. 66. Вып. 2. С. 622–625.
- [30] Леше Л. Физика молекул. М.: Мир, 1987. 232 с.
- [31] Физика сегнетоэлектрических явлений / Под ред. Г.А. Смоленского. Л.: Наука, 1985. 396 с.
- [32] Fukai M., Matsuo T. // J. Phys. Chem. Solids. 1989. Vol. 50. P. 743–751.
- [33] Krauzman M., Godet L. // Europhys. Lett. 1988. Vol. 6. N 1. P. 37–42.